## Глава 3

# ПЕРЕДНЯЯ КИНЕМАТИКА: ДЕНАВИТ-ХАРТЕНБЕРГ СОГЛАЦІЕНИЕ

В этой главе мы разрабатываем прямые или конфигурационные кинематические уравнения для жестких роботов. Проблема прямой кинематики связана с взаимосвязью между отдельными соединениями роботаманипулятора и положением и ориентацией инструмента или исполнительного органа. Говоря более формально, задача прямой кинематики состоит в том, чтобы определить положение и ориентацию рабочего органа по заданным значениям совместных переменных робота. Переменными соединениями являются углы между звеньями в случае вращательных или вращательных соединений и удлинение звена в случае призматических или скользящих соединений. Задачу прямой кинематики следует противопоставить задаче обратной кинематики, которая будет изучаться в следующей главе и которая связана с определением значений совместных переменных, которые обеспечивают желаемое положение и ориентацию рабочего органа робота.

## 3.1 Кинематические цепи

Как описано в главе 1, робот-манипулятор состоит из набора звеньев, соединенных между собой различными соединениями. Соединения могут быть как очень простыми, например, вращающееся или призматическое соединение, так и более сложными, например, шарнирное соединение. (Вспомним, что шарнирное соединение похоже на шарнир и допускает относительное вращение вокруг одной оси, а призматическое соединение допускает линейное движение вдоль одной оси, а именно растяжение или втягивание.) Разница между двумя ситуациями заключается в том, что в В первом случае сустав имеет только одну степень свободы движения: угол поворота в случае вращательного шарнира и величину линейного смещения в случае призматического шарнира. Напротив, шаровой шарнир имеет две степени свободы. В этой книге предполагается, что все суставы имеют только одну степень свободы. Обратите внимание, что предположение

#### 62ГЛАВА З. ПРЯМАЯ КИНЕМАТИКА: КОНВЕНЦИЯ ДЕНАВИТА-ХАРТЕНБЕРГА

не влечет за собой никакой реальной потери общности, поскольку такие суставы, как шаровидный сустав (две степени свободы), или сферическое запястье (три степени свободы), всегда можно рассматривать как последовательность одной степени свободы. суставы свободы со звеньями нулевой длины между ними.

В предположении, что каждый шарнир имеет одну степень свободы, действие каждого шарнира можно описать одним действительным числом: углом поворота в случае вращательного шарнира или смещением в случае призматического шарнира. соединение. Целью прямого кинематического анализа является определение кумулятивного эффекта всего набора совместных переменных.

В этой главе мы разработаем набор соглашений, обеспечивающих систематическую процедуру выполнения этого анализа. Конечно, можно провести прямой кинематический анализ даже без соблюдения этих соглашений, как мы сделали для примера двухзвенного плоского манипулятора в главе 1. Однако кинематический анализ п-звенного манипулятора может быть чрезвычайно сложным и введенные ниже соглашения значительно упрощают анализ. Более того, они порождают универсальный язык, на котором инженеры-роботы могут общаться.

Робот-манипулятор с п суставами будет иметь n + 1 звено, так как каждое сочленение соединяет два звена. Пронумеруем соединения от 1 до n, а звенья пронумеруем от 0 до n, начиная с основания. Согласно этому соглашению, соединение і соединяет ссылку і 1 со ссылкой і. Будем считать положение сустава і фиксированным относительно звена і 1. Когда шарнир і приводится в действие, звено і перемещается. Следовательно, звено 0 (первое звено) неподвижно и не двигается при срабатывании сочленений. Конечно, сам робот-манипулятор может быть мобильным (например, он может быть установлен на мобильной платформе или на автономном транспортном средстве), но мы не будем рассматривать этот случай в настоящей главе, так как с ним можно легко справиться, немного расширив методы. представлены заесь. й с я

совместной, мы связываем совместную переменную, обозначаемую qi . В случае вращательного шарнира qi — угол поворота, а в случае призматического шарнира qi — смещение шарнира:

Для выполнения кинематического анализа к каждому звену жестко привязана система координат. В частности, мы присоединяем оіхіуігі к ссылке і. Это означает, что при любом движении робота выполняется, координаты каждой точки на звене і являются постоянными при выражении в системе координат і. Кроме того, когда шарнир і приводится в действие, звено і и прикрепленная к нему рама, оіхіуігі, испытывают результирующее движение. Рамка о0х0у020, прикрепленная к основанию робота, называется инерциальной рамой. На рис. 3.1 показана идея жесткого крепления рам к звеньям в случае локтевого манипулятора.

Теперь предположим, что Ai — однородная матрица преобразования, выражающая положение и ориентацию оіхіўгі относительно оі 1хі 1уі 1zі 1. Матрица Ai не постоянна, а изменяется при изменении конфигурации робота. Однако предположение о том, что все суставы вращательные или призматические, означает, что Ai является функцией только одной переменной сустава, а именно qi . Другими словами,

$$A\ddot{\mu} = A\ddot{\mu}(\mu)$$
. (3.2)

#### 3.1. КИНЕМАТИЧЕСКИЕ ЦЕПИ

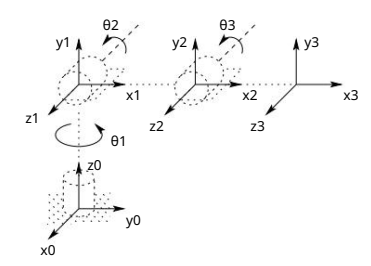


Рисунок 3.1: Координатные рамки, прикрепленные к коленчатому манипулятору.

Теперь однородная матрица преобразования, выражающая положение и ориентацию ojxjyjzj относительно oixiyizi, по соглашению называется матрицей преобразования и обозначается Т j . Из главы 2 мы видимито

$$^{T}$$
 = Ai+1Ai+2 ... Aj 1Aj, если i < j = I,  $^{T_{\rm min}^{\rm min}}$  если i = j 1 (3.3)  $^{T}$  ,  $^{\pi}$  = (T  $^{\pi}$ ) если j > i.

63

Из того, как мы жестко прикрепили различные кадры к соответствующим звеньям, следует, что положение любой точки рабочего органа, выраженное в кадре п, является константой, не зависящей от конфигурации робота. Обозначим положение и ориентацию рабочего органа по отношению к инерциальной или базовой системе координат с помощью трехвектора (который дает координаты по этношению к и определить однородное преобразование базовый кадр) и матрица вращения 3 × 3 R0 н, матрица

$$H = \begin{pmatrix} RO & H & NS & N \\ 0.1 & . & . & . \\ 0.1 & . & . & . \\ 0.1 & . & . & . \\ 0.3.4)$$

Тогда положение и ориентация рабочего органа в инерциальной системе отсчета определяются выражением

$$H = T$$
  $H = A1(q1) \cdots An(qn)$ . (3.5)

Каждое однородное преобразование Аі имеет вид

$$A\ddot{\mathsf{H}} = \begin{pmatrix} \mathsf{N} & \mathsf{I} & \mathsf{O} & \mathsf{N}^{\mathsf{N}-1} \\ \mathsf{N} & \mathsf{I} & \mathsf{O} & \mathsf{N} \\ \mathsf{N} & \mathsf{I} & \mathsf{O} & \mathsf{N} \end{pmatrix}$$
 (3.6)

Следовательн

$$T_{\perp}^{n} = Ai+1 \cdot \cdot \cdot \cdot Aj = \begin{pmatrix} P_{1} & g \\ 0 & 0 & 1 \end{pmatrix}$$
 (3.7)

#### 64ГЛАВА З. ПРЯМАЯ КИНЕМАТИКА: КОНВЕНЦИЯ ДЕНАВИТА-ХАРТЕНБЕРГА

Матрица Ri выражает ориентацию ојхјујzj относительно oixiyizi и задается вращательными частями А-матриц как

$$p_{+}^{n} = P_{-n+1}^{n} \cdots Rj_{DK} 1$$
 (3.8)

Координатные векторы о задаются рекурсивно формулой і

$$s_{0j} = 0_{j} \frac{s}{1} + R \frac{s}{\nu n \nu j} \frac{1}{1 D K}$$
 (3.9)

Эти выражения будут полезны в главе 5, когда мы будем изучать матрицы Якоби.

В принципе, это все, что нужно для кинематики вперед! Определить функции Ai(qi) и перемножить их по мере необходимости. Однако можно добиться значительной оптимизации и упрощения, введя дополнительные соглашения, такие как представление соединения Денавита-Хартенберга, и это является целью оставшейся части главы.

## 3.2 Представительство Денавит Хартенберг

Хотя можно провести весь анализ в этой главе, используя произвольный фрейм, прикрепленный к каждой ссылке, полезно быть систематическим в выборе этих фреймов. Обычно используемым соглашением для выбора систем отсчета в роботизированных приложениях является соглашение Денавита Хартенберга или DH. В этом соглашении каждое однородное преобразование Аі представляется как произведение четырех основных преобразований

где четыре величины θi αi являжойся мараметрами, связанными с звеном i и соединением i. Четырем параметрам аi и di в (8.10) мбычно присваиваются названия: длина звена, поворот звена, смещение звена и угол соединения соответственно. Эти названия происходят от конкретных аспектов геометрического соотношения между двумя системами координат, как станет очевидным ниже. Поскольку матрица Ai является функцией одной переменной, получается, что три из четырех величин являются постоянными для данного звена, а четвертый параметр, θi для вращательного шарнира и di для призматического шарнира, является совместной переменной.

Из главы 2 видно, что произвольную однородную матрицу преобразования можно охарактеризовать шестью числами, такими, например, как три числа для указания

#### 3.2. ПРЕДСТАВИТЕЛЬСТВО ДЕНАВИТ ХАРТЕНБЕРГ

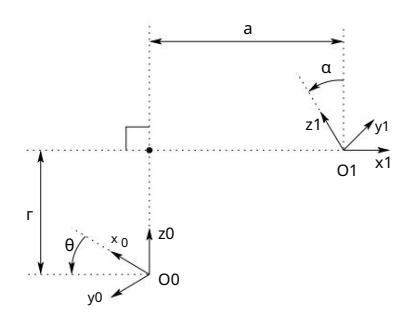


Рисунок 3.2: Система координат, удовлетворяющая предположениям DH1 и DH2.

четвертый столбец матрицы и три угла Эйлера, чтобы указать верхнюю левую матрицу вращения 3 × 3. В представлении DH, напротив, всего четыре параметра. Как это возможно? Ответ заключается в том, что хотя система і должна быть жестко прикреплена к звену і, у нас есть значительная свобода в выборе начала координат и координатных осей системы координат. Например, нет необходимости, чтобы начало координат оі кадра і располагалось на физическом конце канала і. На самом деле нет необходимости даже размещать кадр і внутри физического соединения; кадр і мог бы лежать в свободном пространстве — до тех пор, пока кадр і жестко прикреплен к звену і. Грамотно выбрав начало координат и оси координат, можно сократить количество необходимых параметров с шести до четырех (а в некоторых случаях даже меньше). В разделе 3.2.1 мы покажем, почему и при каких условиях это можно сделать, а в разделе 3.2.2 мы покажем, как именно выполнять назначения системы координат.

#### 3.2.1 Проблемы существования и уникальности

Ясно, что любое произвольное однородное преобразование невозможно представить, используя только четыре параметра. Поэтому начнем с определения того, какие именно однородные преобразования могут быть выражены в виде (3.10). Предположим, что нам даны два кадра, обозначенные кадрами 0 и 1 соответственно. Тогда существует уникальная однородная матрица преобразования A, которая переводит координаты из кадра 1 в координаты кадра 0. Теперь предположим, что два кадра имеют две дополнительные функции, а именно:

#### (DH1) Ось x1 перпендикулярна оси z0

#### (DH2) Ось x1 пересекает ось z0

как показано на рисунке 3.2. В этих условиях мы утверждаем, что существуют единственные числа  $a,d,\theta,\alpha$  такие, что

A = Rotz,
$$\theta$$
Transz, $d$ Transx, $a$ Rotx, $\alpha$ . (3.11)

#### 66ГЛАВА З. ПРЯМАЯ КИНЕМАТИКА: КОНВЕНЦИЯ ДЕНАВИТА-ХАРТЕНБЕРГА

Конечно, поскольку θ и α являются углами, мы действительно имеем в виду, что они уникальны с точностью до кратных 2π. Чтобы показать, что матрица A может быть записана в этой форме, запишите A как

$$A = \begin{pmatrix} RO & 1 & 0 \\ 0 & 1 & 0 \end{pmatrix}$$
 (3.12)

и пусть гі обозначает і  $\,^{\,\dot{\text{M}}}\,$  столбец матрицы вращения R0 1 . Сейчас мы рассмотрим последствия двух ограничений DH.

Если (DH1) выполняется, то x1 перпендикулярен z0 , и мы имеем x1  $\cdot$  z0 = 0. Выражая это ограничение относительно o0x0y0z0, используя тот факт, что r1 является представлением единичного вектора x1 относительно системы координат 0, мы получать

$$0 = x \, 1 \, \circ \, \circ \cdot_{r \, 0}$$
 (3,13)

$$=[r11, r21, r31]$$
  $^{\mathsf{T}} \cdot [0, 0, 1]\mathsf{T}$  (3,14)

Поскольку r31 = 0, нам нужно только показать, что существуют единственные углы  $\theta$  и  $\alpha$  такие, что

$$P_{1}^{0} = Rx_{0}Rx_{0}\alpha =$$
 $c\theta \quad s\theta c\alpha s\theta s\alpha \quad s\theta c\theta c\alpha \quad c\theta s\alpha \quad 0$ 
 $ca \quad c\alpha \quad .$ 
(3.16)

Единственная информация, которой мы располагаем, это то, что r31 = 0, но этого достаточно. Во-первых, поскольку каждая строка и столбец R0 должны иметь единичную длину, r31 = 0 означает, что

$${2 \atop p+1} + p \atop 2 \atop 2 \atop p+2} = 1,$$
 ${2 \atop p+2} + p \atop 3 \atop 3} = 1$  (3.17)

Следовательно, существуют единственные  $\theta$ ,  $\alpha$  такие, что

$$(r11, r21) = (c\theta, s\theta),$$
  $(r33, r32) = (c\alpha, s\alpha).$  (3.18)

Как только θ и α найдены, обычно показывается, что остальные элементы R0 должны иметь форму, показанную в (3.16), используя тот факт, что Regrerce матрицей вращения.

Далее, предположение (DH2) означает, что смещение между о0 и о1 может быть выражено как линейная комбинация векторов z0 и x1. Это можно записать как o1 = 00 + dz0 + ax1. Опять же, мы можем выразить это отношение в координатах o0x0y0z0, и мы получаем

$$0 = 0 + \text{A3}_{0}^{0} + \text{ronopq}$$
 (3.19)

65

#### 3.2. ПРЕДСТАВИТЕЛЬСТВО ДЕНАВИТ ХАРТЕНБЕРГ

67

Объединяя приведенные выше результаты, получаем (3.10) требуемое. Таким образом, мы видим, что четырех параметров достаточно для задания любого однородного преобразования, удовлетворяющего ограничениям (DH1) и (DH2).

Теперь, когда мы установили, что каждая однородная матрица преобразования, удовлетворяющая приведенным выше условиям (DH1) и (DH2), может быть представлена в виде (3.10), мы фактически можем дать физическую интерпретацию каждой из четырех величин в (3.10). Параметр а представляет собой расстояние между осями 20 и 21 и измеряется вдоль оси х1. Угол α — это угол между осями 20 и 21, измеренный в плоскости, нормальной к х1. Положительный смысл для α определяется от 20 до 21 по правилу правой руки, как показано на рис. 3.3.

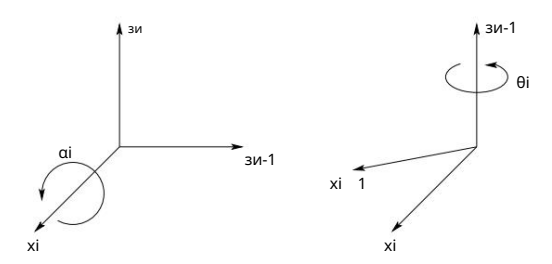


Рисунок 3.3: Положительный смысл для αі и θі .

параметр d — расстояние между началом координат о0 и пересечением оси x1 с точкой z0 , измеренной вдоль оси z0 . Наконец,  $\theta$  — это угол между x0 и x1 , измеренный в плоскости, нормальной к z0. Эти физические интерпретации окажутся полезными при разработке процедуры задания систем координат, удовлетворяющих ограничениям (DH1) и (DH2), и сейчас мы обратим внимание на разработку такой процедуры.

### 3.2.2 Назначение систем координат

Для данного робота-манипулятора всегда можно выбрать кадры 0,..., п таким образом, что выполняются два вышеуказанных условия. В определенных обстоятельствах это потребует размещения начала координат кадра і в месте, которое может не удовлетворять интуитивно, но обычно это не так. При чтении изложенного ниже материала важно помнить, что выбор различных систем координат не уникален, даже если он ограничен вышеуказанными требованиями. Таким образом, возможно, что разные инженеры получат разные, но одинаково правильные назначения системы координат для звеньев робота. Однако очень важно отметить, что конечный результат (т. е. матрица Т назначения кадров промежуточных звеньев (в предположении, что системы координат для звена п совпадают). Мы ") будет одинаковым независимо от начнем с вывода общей процедуры. Затем мы обсудить различные общие частные случаи, когда возможно дальнейшее упрощение однородной матрицы преобразования.

#### 68ГЛАВА З. ПРЯМАЯ КИНЕМАТИКА: КОНВЕНЦИЯ ДЕНАВИТА-ХАРТЕНБЕРГА

Для начала отметим, что выбор zi произвольный. В частности, из (3.16) мы видим, что, выбирая подходящим образом di и θi , можно получить любое произвольное направление для zi . Таким образом, для нашего первого шага мы назначаем оси z0, ..., zn 1 интуитивно приятным способом. В частности, мы назначаем zi осью срабатывания сустава i + 1. Таким образом, z0 — ось срабатывания сустава 1, z1 — ось срабатывания сустава 2 и т. д. Рассмотрим два случая: (i) если шарнир i + 1 вращающийся, то zi — ось вращения шарнира i + 1; (ii) если сустав i + 1 призматический, zi является осью перемещения шарнира i+1. Сначала может показаться немного запутанным связывать zi с суставом i + 1, но вспомним, что это удовлетворяет соглашению, которое мы установили в разделе 3.1, а именно, что шарнир i фиксируется относительно кадра i, и что когда шарнир i приводится в действие , звено i и связанная с ним система координат оіхіуіzi испытывают результирующее движение.

После того, как мы установили оси Z для ссылок, мы устанавливаем базовый кадр. Выбор базовой рамы почти произволен. Мы можем выбрать начало координат о0 базовой системы координат в качестве любой точки на z0. Затем мы выбираем x0, y0 любым удобным способом, лишь бы полученный репер был правым. Это устанавливает кадр 0.

Как только кадр 0 установлен, мы начинаем итеративный процесс, в котором мы определяем кадр і, используя кадр і 1, начиная с кадра 1. Рисунок 3.4 будет полезен для понимания процесса, который мы сейчас описываем.

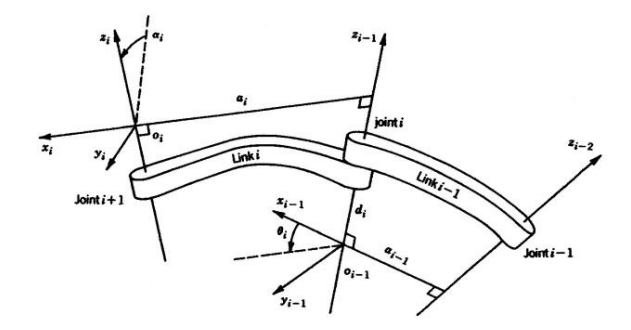


Рисунок 3.4: Назначение кадра Денавита-Хартенберга.

Для построения системы і необходимо рассмотреть три случая: (i) оси zi 1, zi не компланарны, (ii) оси zi 1, zi пересекаются, (iii) оси zi 1, zi параллельны. Заметим, что в обоих случаях (ii) и (iii) оси zi 1 и zi компланарны. Такая ситуация на самом деле довольно распространена, как мы увидим в разделе 3.3. Рассмотрим теперь каждый из этих трех случаев.

(i) zi 1 и zi не компланарны: если zi 1 и zi не компланарны, то существует единственный отрезок прямой, перпендикулярный обеим zi 1 и zi , такой, что он соединяет обе прямые и имеет минимальную длину. Строка, содержащая эту общую нормаль к zi 1 и zi , определяет xi

#### 3.2. ПРЕДСТАВИТЕЛЬСТВО ДЕНАВИТ ХАРТЕНБЕРГ

69

и точка, где эта линия пересекает zi, является началом координат оi. По построению выполняются оба условия (DH1) и (DH2), и вектор от оi 1 до оi является линейной комбинацией zi 1 и xi. Спецификация кадра i завершается выбором оси yi для формирования правого кадра. Поскольку выполняются предположения (DH1) и (DH2), матрица однородного преобразования Ai имеет вид (3.10).

(ii) zi 1 параллельна zi: если оси zi 1 и zi параллельны, то между ними существует бесконечно много общих нормалей, и условие (DH1) не определяет xi полностью.

В этом случае мы можем выбрать начало координат где угодно вдоль zi . Часто выбирают оi для упрощения получающихся уравнений. Затем выбирается ось xi либо направленная от оi к zi 1 вдоль общей нормали, либо противоположная этому вектору. Обычный метод выбора оi состоит в том, чтобы выбрать нормаль, проходящую через оi 1, в качестве оси xi; оi — это точка, в которой эта нормаль пересекает zi . В этом случае di будет равно нулю.

Как только хі зафиксировано, уі определяется, как обычно, по правилу правой руки. Так как оси zi 1 и zi параллельны, то αi в этом случае будет равно нулю.

(iii) zі 1 пересекает zi: в этом случае xi выбирается нормально к плоскости, образованной zi и zi 1. Положительное направление xi произвольно. Наиболее естественным выбором начала координат оi в этом случае является точка пересечения zi и zi 1. Однако достаточно любой удобной точки на оси zi. Обратите внимание, что в этом случае парамето аi равен 0.

Эта конструктивная процедура работает для кадров 0,..., n І в п-звенном роботе. Для завершения построения необходимо указать кадр п. Окончательную систему координат опхпупzп обычно называют конечным рабочим органом или станиной инструмента (см. рис. 3.5). Происхождение



Рисунок 3.5: Назначение рамы инструмента.

чаще всего располагается симметрично между пальцами захвата. Единичные векторы вдоль осей xn, yn и zn обозначены как n, s и а соответственно. Терминология возникает из-за того, что направление а является направлением приближения в том смысле, что захват обычно приближается к объекту вдоль направления а . Точно так же направление s — это направление скольжения, направление, вдоль которого пальцы захвата скользят, открываясь и закрываясь, а n — это направление, нормальное к плоскости, образованной точками а и s.

#### 70ГЛАВА З. Прямая кинематика: КОНВЕНЦИЯ ДЕНАВИТА-ХАРТЕНБЕРГА

В современных роботах конечным движением сустава является поворот рабочего органа на  $\theta$ n , и две последние оси сустава, zn 1 и zn, совпадают. В этом случае преобразование между последними двумя системами координат представляет собой перемещение вдоль zn 1 на расстояние dn , за которым следует (или предшествует) поворот на  $\theta$ n радиан вокруг zn 1. Это важное наблюдение, которое упростит вычисление инверсной кинематики в следующей главе.

Наконец, отметим следующий важный факт. Во всех случаях, независимо от того, является ли рассматриваемый шарнир вращательным или призматическим, величины аі и αі всегда постоянны для всех і и характерны для манипулятора. Если соединение і призматическое, то θі также является константой, а di th является і

совместная переменная. Точно так же, если соединение і является вращательным, то dі является постоянным, а θі является
переменной соединения і.

## 3.2.3 Резюме

Мы можем обобщить описанную выше процедуру, основанную на соглашении DH, в следующем алгоритме для получения прямой кинематики для любого манипулятора.

- Шаг 1: Найдите и обозначьте оси соединения z0,..., зн 1.
- Шаг 2: Установите базовую раму. Установите начало координат в любом месте оси z0. x0 и y0 \_ оси выбраны удобно, чтобы образовать правую рамку.

```
Для я = 1,..., n 1, выполнить шаги с 3 по 5.
```

- Шаг 3: Найдите начало координат оі , где общая нормаль к zi и zi 1 пересекает zi . Если zi пересекает zi 1, найдите оі на этом пересечении. Если zi и zi 1 параллельны, расположите оі в любом удобном месте вдоль zi .
- Шаг 4: Установите хі вдоль общей нормали между zi 1 и zi через оі или в направлении нормали к плоскости zi 1 zi , если zi 1 и zi пересекаются.
- Шаг 5: Установите уі , чтобы завершить правую рамку.
- Шаг б: Установите раму рабочего органа на хпупzn. Предполагая, что n-й шарнир является вращательным, установите zn = а вдоль направления zn 1. Установите исходную точку удобно вдоль Zn, предпочтительно в центре захвата или на кончике любого инструмента, который может быть у манипулятора. Установите yn = s в направлении закрытия захвата и установите xn = n как s × а. Если инструмент не является простым захватом, установите xn и yn так , чтобы удобно было сформировать правую рамку.
- Шаг 7: Создайте таблицу параметров ссылки ai , ди, αi, я.

```
аі = расстояние по хі от оі до пересечения осей хі и хі 1. di = расстояние по zi-1 от оі-1 до пересечения осей хі и zi-1. di является переменной, если шарнир і призматический.
```

αі = угол между zi 1 и zi , измеренный относительно xi (см. рис. 3.3).

3.3. ПРИМЕРЫ 71

θі = угол между хі 1 и хі , измеренный относительно zі 1 (см. рис. 3.3). θі является переменной если сустав і вращается.

Шаг 8: Сформируйте однородные матрицы преобразования Ai , подставив вышеуказанные параметры в (3.10)

Шаг 9: Форма Т  $\ \ \ \ \ \ ^{n}$  = A1 · · · An. Затем это дает положение и ориентацию инструмента кадр, выраженный в базовых координатах.

## 3.3 Примеры

Пример 3.1. Плоский локтевой манипулятор.

Рассмотрим плоскую руку с двумя звеньями на рис. 3.6. Оси соединения z0 и z1 перпендикулярны

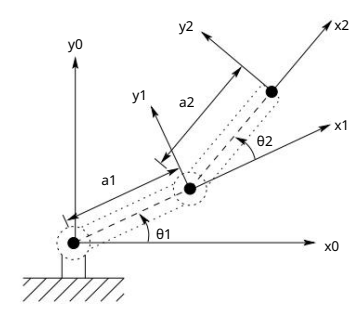


Рисунок 3.6: Двухзвенный планарный манипулятор. Все оси Z указывают за пределы страницы и не показаны на рисунке.

страница. Мы устанавливаем базовый кадр o0x0y0z0, как показано. Начало выбрано в точке пересечения ocu z0 со страницей, а направление ocu x0 совершенно произвольно. Как только базовый кадр установлен, кадр o1x1y1z1 фиксируется, как показано соглашением DH, где начало координат o1 находится на пересечении z1 и страницы.

Окончательный кадр о2x2y2z2 фиксируется путем выбора начала координат о2 в конце ссылки 2, как показано на рисунке. Параметры канала показаны в таблице 3.1. А-матрицы определяются из (3.10) как

#### 72ГЛАВА З. ПРЯМАЯ КИНЕМАТИКА: КОНВЕНЦИЯ ДЕНАВИТА-ХАРТЕНБЕРГА

Таблица 3.1: Параметры звена для двухзвенного планарного манипулятора.

Ссылка	ai αi di	θi a1 (	000	a2
1	000			1
2				2
	* пе	ременн	ая	

c1 s10a1c1s1c1 0a1s100100001 A1 = . (3.22)

 $C2 \quad S2 \ 0 \ a2c2 \ S2 \ c2$   $O \ a2s2 \ 0 \ 0 \ 1 \ 0$   $O \ 0 \ 0 \ 1$ (3.23)

Таким образом, Т-матрицы имеют вид

$$T_1^0 = A1.$$
 (3.24)

$$T_{2}^{0} = A1A2 = \begin{array}{c} c12 & s12 \ 0 \ a1c1 + a2c12 \ c12 \ 0 \\ c12 & a1s1 + a2s12 \ 0 \ 1 \ 0 \ 0 \ 0 \\ c & c \end{array} \qquad (3.25)$$

Обратите внимание, что первые две записи последнего столбца  $\overline{t}^0$  компоненты x и y начало координат о2 в базовой системе отсчета; то есть,

$$x = a1c1 + a2c12$$
 (3.26)  
 $y = a1c1 + a2c12$ 

- координаты рабочего органа в базовой раме. Вращательная часть T ориентации рамы  $\frac{0}{2}$  дает o2x2y2z2 относительно базовой рамы.

#### Пример 3.2. Трехзвенный цилиндрический робот

Рассмотрим теперь трехзвенный цилиндрический робот, символически представленный на рис. 3.7. Мы устанавливаем о0 , как показано на стыке 1. Обратите внимание, что размещение начала координат о0 вдоль 20 , а также направление оси х0 произвольны. Наш выбор точки о0 наиболее естественен, но о0 можно было бы с таким же успехом разместить на стыке 2. Ось х0 выбрана перпендикулярно странице. Затем, поскольку 20 и z1 совпадают, начало координат о1 выбирается на стыке 1, как показано. Ось х1 нормальна к странице, когда θ1 = 0, но, конечно, ее направление изменится, поскольку θ1 является переменной величиной. Поскольку z2 и z1 пересекаются, начало координат о2 находится на этом пересечении. Направление

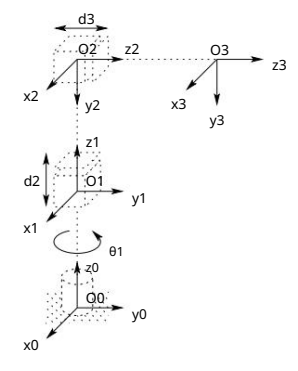


Рисунок 3.7: Трехзвенный цилиндрический манипулятор.

Таблица 3.2: Параметры звена трехзвенного цилиндрического манипулятора.

Ссылка н	а ай	αi	di θi	d1
1	0	0	А	1
2	0	90 д 2 0	0 *	0'
3	д3		*	0
	* -	тепеменна		

параллельно x1, так что θ2 равно нулю. Наконец, третий кадр выбирается в конце ссылки 3, как показано.

Параметры связи теперь показаны в таблице 3.2. Соответствующие матрицы А и Т

## 74ГЛАВА З. Прямая кинематика: КОНВЕНЦИЯ ДЕНАВИТА-ХАРТЕНБЕРГА

пяются

$$A1 = \begin{cases}
c1 & s1 & 0 & 0 & s1 \\
c1 & 0 & 0 & 0 & 1 & d1 \\
0 & 0 & 1 & 0 & 0
\end{cases}$$

$$A2 = \begin{cases}
10 & 0 & 0 & 0 \\
0 & 0 & 1 & 0 & d2 & 0 \\
0 & 1 & 0 & 0 & 0
\end{cases}$$

$$A3 = \begin{cases}
0 & 1 & 0 & 0 & 0 \\
0 & 1 & 0 & 0 & 0 \\
0 & 1 & 0 & 0 & 0
\end{cases}$$

$$0 & 1 & 0 & 0 & 0 & 0$$

$$0 & 0 & 1 & 0 & 0 & 0$$

$$0 & 0 & 1 & 0 & 0 & 0$$

$$0 & 0 & 1 & 0 & 0 & 0$$

$$0 & 0 & 1 & 0 & 0 & 0$$

$$0 & 0 & 1 & 0 & 0 & 0$$

$$0 & 0 & 1 & 0 & 0 & 0$$

$$0 & 0 & 1 & 0 & 0 & 0$$

$$0 & 0 & 1 & 0 & 0 & 0$$

$$0 & 0 & 1 & 0 & 0 & 0$$

$$0 & 0 & 1 & 0 & 0 & 0$$

$$0 & 0 & 1 & 0 & 0 & 0$$

$$0 & 0 & 1 & 0 & 0 & 0$$

$$0 & 0 & 1 & 0 & 0 & 0$$

$$0 & 0 & 1 & 0 & 0 & 0$$

$$0 & 0 & 1 & 0 & 0 & 0$$

$$0 & 0 & 1 & 0 & 0 & 0$$

$$0 & 0 & 1 & 0 & 0 & 0$$

$$0 & 0 & 1 & 0 & 0 & 0$$

$$0 & 0 & 1 & 0 & 0 & 0$$

$$0 & 0 & 1 & 0 & 0 & 0$$

$$0 & 0 & 1 & 0 & 0 & 0$$

$$0 & 0 & 1 & 0 & 0 & 0$$

$$0 & 0 & 1 & 0 & 0 & 0$$

$$0 & 0 & 1 & 0 & 0 & 0$$

$$0 & 0 & 1 & 0 & 0 & 0$$

$$0 & 0 & 1 & 0 & 0 & 0$$

$$T_{3}^{0} = A1A2A3 = \begin{cases} c10 & s1 & s1d3 \\ s10 & c1d3 & 0_{c1} \\ d2000 & 0 \end{cases} = 0$$
 (3.28)

## Пример 3.3 Сферическое запястье

Рисунок 3.8: Назначение сферического каркаса запястья.

Сферическая конфигурация запястья показана на рис. 3.8, в которой оси суставов 23, 24, 25 пересекаются в точке о. Параметры Денавита-Хартенберга приведены в таблице 3.3. Стэнфордский манипулятор является примером манипулятора с таким запястьем. На самом деле следующий анализ применим практически ко всем сферическим

Покажем теперь, что последние три совместные переменные, 04, 05, 06, являются углами Эйлера ф, 0, ф соответственно относительно системы координат о3х3у323. Чтобы увидеть это, нам нужно только вычислить

3.3. ПРИМЕРЫ 75

Таблица 3.3: Параметры DH для сферического запястья.

	Ссылка	ай	αί	ди 🖲	i			
333	4	0	9006	)	4			
	5	0.9	000		5			
	6	0	0	d6 0	6			
1.0	*							

матрицы А4, А5 и А6 с использованием таблицы 3.3 и выражения (3.10). Это дает

$$A4 = \begin{pmatrix} c4 & 0 & s4 & 0 \\ c4 & 0 & c4 & 0 \\ 0 & 1 & 0 & 0 \\ 0 & 0 & 0 & 1 \end{pmatrix}$$

$$C5 & 0 & c5 & 0 \\ A5 = \begin{pmatrix} c5 & 0 & c5 & 0 \\ 0 & 1 & 0 & 0 \\ 0 & 0 & 0 & 1 \\ c6 & s6 & 0 & 0 \\ c6 & c6 & 0 & 0 \\ C$$

Умножение этих значений дает

0 1 d6 **0** 0 0 1

Сравнение вращающейся части R3 T  $^{6}$  с преобразованием угла Эйлера (2.51) показывает что  $\theta$ 4,  $\theta$ 5,  $\theta$ 6 действительно могут быть идентифицированы как углы Эйлера  $\phi$ ,  $\theta$  и  $\phi$ 0 относительно система координат  $\theta$ 3х3у3z3.

## Пример 3.4 Цилиндрический манипулятор со сферическим запястьем

Предположим, что теперь мы присоединяем сферическое запястье к цилиндрическому манипулятору из примера 3.3.2, как показано на рис. 3.9. Обратите внимание, что ось вращения шарнира 4 параллельна z2 и, таким образом, совпадает с осью z3 из примера 3.3.2. Смысл этого в том, что мы можем

#### 76ГЛАВА З. ПРЯМАЯ КИНЕМАТИКА: КОНВЕНЦИЯ ДЕНАВИТА-ХАРТЕНБЕРГА

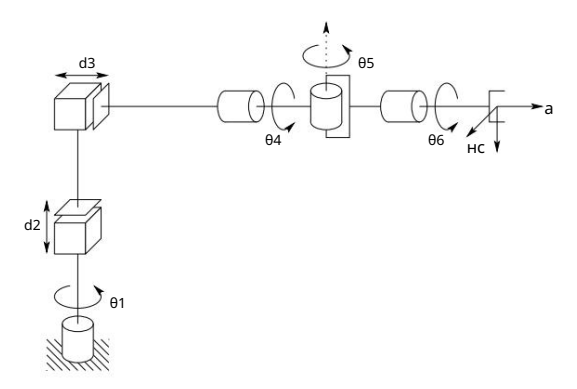


Рисунок 3.9: Цилиндрический робот со сферическим запястьем.

немедленно объединить два предыдущих выражения (3.28) и (3.32), чтобы получить прямое кинематика как

$$T_6^0 = T_3^0 T_6^3$$
 (3.33)

$$T_6^0 = \begin{cases} \begin{array}{c} \text{c1 0} & \text{s1} & \text{s1d1} \\ \text{c1 0} & \text{c1} & \text{c1d3} \\ \text{0} & \text{1 0 d1 + d2} \\ \text{0 0 0} & \text{1} & \text{0 d1 + d2} \\ \text{0 11 r1 r12 r13 dx} \\ \text{p31 p32 p33 d3} \\ \text{0 0 0 1} \\ \end{array} \\ \begin{array}{c} \text{c4c5c6 - s4s6 - c4c5s6 - s4c6 c4s5 c4s5d6} \\ \text{s4c5c6 + c4s6} & \text{s4c5s6 + c4c6 s4s5 s4s5d6} \\ \text{s5c6} & \text{s5c6} & \text{c5} & \text{c5d6} \\ \text{s5c6} & \text{s5c6} & \text{c5} & \text{c5d6} \\ \text{s7c1 r22 r23 dbi} \\ \text{p31 p32 p33 d3} \\ \text{o0 0 0 1} \\ \end{array}$$

где

```
r11 = c1c4c5c6 - c1s4s6 + s1s5c6
r21 = s1c4c5c6 - s1s4s6 - c1s5c6
r31 = s4c5c6 c4s6
r12 = c1c4c5s6 c1s4c6 s1s5c6
r22 = s1c4c5s6 s1s4s6 + c1s5c6
r32 = c4c5c6 - c4c6
r13 = c1c4s5 - s1c5
r23 = c1c4c5 + c1c5
r33 = s4s5
dx = c1c4s5d6 - s1c5d6 - s1d3
dy = s1c4s5d6 + c1c5d6 + c1d3 dz =
  s4s5d6 + d1 + d2.
```

Обратите внимание, что большая часть сложности прямой кинематики для этого манипулятора возникает из-за ориентации рабочего органа, в то время как выражение для положения руки из (3.28) довольно простое. Предположение о сферическом запястье не только упрощает здесь вывод прямой кинематики, но и значительно упрощает задачу обратной кинематики в следующей главе.

## Пример 3.5 Стэнфордский манипулятор

Теперь рассмотрим Стэнфордский манипулятор, показанный на рис. 3.10. Этот манипулятор является

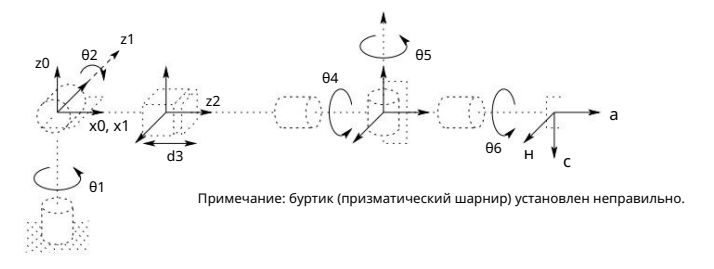


Рисунок 3.10: Назначение системы координат DH для манипулятора Stanford.

пример сферического (РРП) манипулятора со сферическим запястьем. Этот манипулятор имеет смещение в плечевом суставе, что несколько усложняет задачи как прямой, так и обратной кинематики.

#### 78ГЛАВА З. Прямая кинематика: КОНВЕНЦИЯ ДЕНАВИТА-ХАРТЕНБЕРГА

Таблица 3.4: Параметры DH для Stanford Manipulator.

Связь	di ai α	i θi 0	0 90		
1	d2 (	+90	0.0		
2					
3					
040	0 9	0	0 0 +90		
5	d6	b			
6			0		
	*				
совместная переменная					

Сначала мы устанавливаем совместные системы координат, используя соглашение DH, как показано. параметры ссылки приведены в таблице 3.4.

Матрицы Аі легко вычислить как

$$A1 = \begin{array}{c} c1 & 0 & s100 \\ c10 s10 \\ 100 \\ 0 & 0 & 01 \\ \end{array}$$

$$c2 0 s2 0 s2 0 \\ A2 = \begin{array}{c} c2 0 010 d2 0 \\ 001 \\ 0 \\ 0 \\ \end{array}$$

$$A3 = \begin{array}{c} 1000 \\ 0100 \\ 001 d3 00 \\ 01 \\ 0 \\ \end{array}$$

$$A4 = \begin{array}{c} c4 & 0 & s400 \\ c4 & 0 s40 \\ 0 \\ 0 \\ \end{array}$$

$$A5 = \begin{array}{c} c5 & 0 s500 \\ c50 s50 \\ 0 \\ 0 \\ \end{array}$$

$$A5 = \begin{array}{c} c6 & s600 c60 \\ c6 & 001 d60 \\ \end{array}$$

$$A6 = \begin{array}{c} (3.36) \\ (3.37) \\ (3.38) \\ (3.38) \\ (3.39) \\ (3.39) \\ (3.39) \\ (3.340) \\ (3.40) \\ \end{array}$$

$$A6 = \begin{pmatrix} c6 & s6 & 0 & 0 & c6 & 0 \\ c6 & 0 & 0 & 1 & d6 & 0 \\ 0 & 0 & 1 & 0 \end{pmatrix}$$
 (3.40)

Т<sub>6</sub> затем дается как

$$T_6^0 = A1 \cdots A6$$
 (3.41)  
 $r11 \ r12 \ r13 \ дx$   
 $r21 \ r22 \ r23 \ dy \ r31$   
 $r32 \ r33 \ dz \ 0 \ 0 \ 0 \ 1$  (3.42)

где

## Пример 3.6 Манипулятор SCARA

В качестве другого примера общей процедуры рассмотрим манипулятор SCARA на рис. 3.11. Этот манипулятор, представляющий собой абстракцию робота AdeptOne на рис. 1.11, состоит из руки RRP и запястья с одной степенью свободы, движение которых представляет собой перекат вокруг вертикальной оси. Первым шагом является определение местоположения и маркировка осей соединения, как показано на рисунке. Поскольку все оси соединений параллельны, у нас есть некоторая свобода в размещении начала координат. Истоки расположены так, как показано для удобства. Устанавливаем ось х0 в плоскости страницы, как показано. Это совершенно произвольно и влияет только на нулевую конфигурацию манипулятора, то есть на положение манипулятора при  $\theta$ 1 = 0.

Совместные параметры приведены в Таблице 3.5, а А-матрицы следующие.

#### 80ГЛАВА З. Прямая кинематика: КОНВЕНЦИЯ ДЕНАВИТА-ХАРТЕНБЕРГА

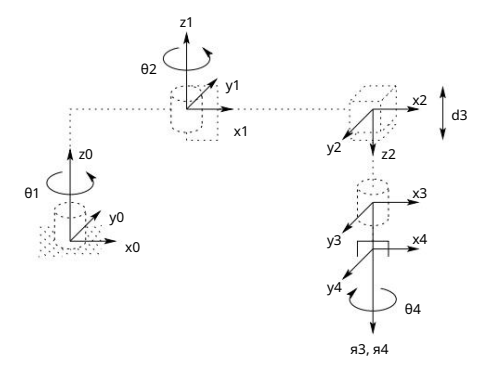


Рисунок 3.11: Назначение системы координат DH для манипулятора SCARA.

Таблица 3.5: Совместные параметры для SCARA.

Ссылка	ай	αί	ди	₿i	
1		0	0		
2	a1 a	2 180	0 (	o	
3	(	0 0 d	4		
4					
*					
	совмес	тная перем	енная		

Таким образом, прямые кинематические уравнения имеют вид

$$T_4^0 = A1 \cdots A4 = \begin{pmatrix} c12c4 + s12s4 & c12s4 + s12c4 \ 0 \ a1c1 + a2c12 \\ s12c4 & c12s4 & s12s4 & c12c4 \ 0 \ a1s1 + a2s12 \\ 0 & 0 & 1 \ d3 \ d4 \\ 0 & 0 & 01 \end{pmatrix}. (3.49)$$

82ГЛАВА З. Прямая кинематика: КОНВЕНЦИЯ ДЕНАВИТА-ХАРТЕНБЕРГА

## Глава 4

## ОБРАТНАЯ КИНЕМАТИКА

В предыдущей главе мы показали, как определить положение рабочего органа и его ориентацию в терминах совместных переменных. В этой главе рассматривается обратная задача нахождения совместных переменных с точки зрения положения рабочего органа и его ориентации. Это задача обратной кинематики, и она, вообще говоря, сложнее, чем задача прямой кинематики.

В этой главе мы начнем с формулировки общей обратной задачи кинематики. После этого мы опишем принцип кинематической развязки и то, как его можно использовать для упрощения обратной кинематики большинства современных манипуляторов. Используя кинематическую развязку, мы можем независимо рассматривать задачи положения и ориентации. Мы описываем геометрический подход к решению задачи позиционирования, а параметризацию угла Эйлера используем для решения задачи ориентации.

#### 4.1. Общая задача обратной кинематики.

Общая задача инверсной кинематики может быть сформулирована следующим образом. Для заданного 4 × 4 однородного преобразования

$$H = {\begin{array}{c} P \circ 0 \\ 1 \end{array}} SE(3)$$
 (4.1)

при R SO(3) найти (одно или все) решения уравнения

$$T_{H}^{0}(a1, ..., an) = H$$
 (4.2)

где

$$T_{H}^{0}(q1, ..., qn) = A1(q1) \cdot ... An (qn).$$
 (4.3)

Здесь Н представляет желаемое положение и ориентацию рабочего органа, и наша задача состоит в том, чтобы найти значения совместных переменных q1,..., qn так, чт $\mathring{\mathfrak{p}}(\overline{\mathfrak{q}}_1,...,\mathfrak{q}_n)$  = H.

83

#### ГЛАВА 4. ОБРАТНАЯ КИНЕМАТИКА

Уравнение (4.2) приводит к двенадцати нелинейным уравнениям от n неизвестных переменных, которые можно записать в виде

Tij 
$$(q1, ..., qn) = hij$$
,  $4i = 1, 2, 3, j = 1, ...$  (4.4)

где Тіј , hij относятся к двенадцати нетривиальным элементам  $^{\circ}$  и Н соответственно. (Поскольку и Т, нижняя строка обоих  $^{\circ}$  Н равны (0,0,0,1), четыре из шестнадцати уравнений, представленных Т (4.2) тривиальна.)

## Пример 4.1.

84

Вспомните манипулятор Stanford из примера 3.3.5. Предположим, что желаемое положение и ориентация конечного кадра задается

52c455 + c2c5 = r33

Чтобы найти соответствующие совместные переменные θ1, θ2, d3, θ4, θ5 и θ6, мы должны одновременно решить следующую систему нелинейных тригонометрических уравнений (ср. (3.43) и (3.44)):

Уравнения в предыдущем примере, конечно, слишком сложны для решения непосредственно в замкнутой форме. Так обстоит дело с большинством роботов-манипуляторов. Поэтому нам необходимо разработать эффективные и систематические методы, использующие особую кинематическую структуру манипулятора. В то время как задача прямой кинематики всегда имеет единственное решение, которое можно получить, просто оценивая прямые уравнения, задача обратной кинематики может иметь решение, а может и не иметь. Даже если решение существует, оно может быть или не быть уникальным.

86

При решении обратной задачи кинематики нас больше всего интересует решение уравнений в замкнутой форме, а не численное решение. Поиск решения в закрытой форме означает поиск явного отношения:

$$gk = fk(h11, ..., h34), k = 1, ...,$$
(4.6)

Решения закрытой формы предпочтительнее по двум причинам. Во-первых, в некоторых приложениях, таких как отслеживание сварочного шва, местоположение которого определяется системой технического зрения, обратные кинематические уравнения должны решаться с высокой скоростью, скажем, каждые 20 миллисекунд, и наличие выражений в замкнутой форме, а не итеративный поиск практическая необходимость. Во-вторых, кинематические уравнения в общем случае имеют несколько решений. Наличие решений закрытой формы позволяет разработать правила выбора конкретного решения из нескольких.

Практический вопрос о существовании решений обратной задачи кинематики зависит как от технических, так и от математических соображений. Например, движение шарнирных соединений может быть ограничено менее чем полным поворотом на 360 градусов, так что не все математические решения кинематических уравнений будут соответствовать физически реализуемым конфигурациям манипулятора. Будем считать, что заданное положение и ориентация таковы, что существует хотя бы одно решение уравнения (4.2). Как только решение математических уравнений определено, его необходимо дополнительно проверить, чтобы увидеть, удовлетворяет ли оно всем ограничениям на диапазоны возможных движений суставов. Для наших целей в дальнейшем будем считать, что данная однородная матрица Н в (4.2) соответствует конфигурации в рабочем пространстве манипулятора с достижимой ориентацией. Это тогда гарантирует, что полученные математические решения соответствуют достижимым конфигурациям.

### 4.2 Кинематическая развязка

Хотя общая проблема обратной кинематики довольно сложна, оказывается, что для манипуляторов, имеющих шесть шарниров, причем последние три шарнира пересекаются в точке (например, Стэнфордский манипулятор выше), можно разделить задачу обратной кинематики на две части. более простые задачи, известные соответственно как кинематика инверсного положения и кинематика инверсного положения и кинематика инверсной ориентации. Иными словами, для манипулятора с шестью степенями свободы со сферическим запястьем обратная задача кинематики может быть разделена на две более простые задачи, а именно: сначала найти положение пересечения осей запястья, далее называемое центром запястья, а затем определение ориентации запястья.

Для конкретности предположим, что имеется ровно шесть степеней свободы и что последние три шарнирные оси пересекаются в точке ос . Выразим (4.2) в виде двух систем уравнений, представляющих уравнения вращения и уравнения положения

$$P_{6}^{0}(q1, ..., q6) = R$$
 (4,7)

### ГЛАВА 4. ОБРАТНАЯ КИНЕМАТИКА

где о и R — желаемое положение и ориентация рамки инструмента, выраженная по отношению к мировой системе координат. Таким образом, нам даны о и R, и необходимо решить обратную задачу кинематики относительно q1,..., д6.

Предположение о сферическом запястье означает, что оси z3, z4 и z5 пересекаются в точке ос , и, следовательно, начало координат о4 и о5, определяемое DH-соглашением, всегда будет в центре запястья ос . Часто о3 тоже будет на ос , но это не обязательно для нашего последующего развития. Важным моментом этого допущения для инверсной кинематики является то, что движение последних трех звеньев вокруг этих осей не изменит положение ос , и, таким образом, положение центра запястья, таким образом, является функцией только первых трех суставных переменных.

Начало рамки инструмента (желательные координаты которой задаются буквой о) просто получается путем переноса расстояния d6 по z5 от ос (см. Таблицу 3.3). В нашем случае z5 и z6 являются одной и той же осью, а третий столбец R выражает направление z6 относительно базовой рамы. Таким образом, у нас есть

Таким образом, чтобы рабочий орган робота находился в точке с координатами, заданными о, и с ориентацией рабочего органа, заданной R = (rij ) , необходимо и достаточно, чтобы центр запястья ос имел заданные координаты к

$$0 = 0 - d6R$$
 0 (4.10)

и что ориентация рамы обхбубz6 по отношению к основанию задается R. Если компоненты положения рабочего органа о обозначаются ох, оу, оz , а компоненты центра запястья  $Q_{\text{обозначаются xc, yc, zc, тo (4.10) дает соотношение}$ 

Используя уравнение (4.11), мы можем найти значения первых трех совместных переменных. 
определяет преобразование ориентации R0 3 то зависит только от этих первых трех 
совместных переменных. Теперь мы можем определить ориентацию рабочего органа относительно 
системы координат о3х3у323 из выражения

$$P = P gp_3^3$$
 (4.12)

как

$$P_{6}^{3} = (p_{3}^{0}) \quad 1R = (R_{3}^{0})^{T} P.$$
 (4.13)

Как мы увидим в разделе 4.4, последние три угла соединения можно найти как набор углов Эйлера, соответствующих R3 6. Заметим, что правая часть (4.13) полностью известна, так как R задано, а R0 можно вычислить, если известны первые три совместных переменных. Идея кинематической развязки проиллюстрирована на рис. 4.1.

4.3. ПЕРЕВЕРНУТОЕ ПОЛОЖЕНИЕ: ГЕОМЕТРИЧЕСКИЙ ПОДХОД

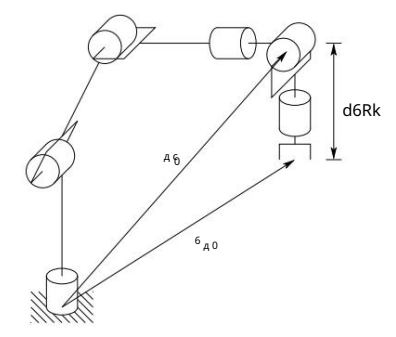


Рисунок 4.1: Кинематическая развязка.

Краткое содержание

Для этого класса манипуляторов определение инверсной кинематики можно свести к следующему алгоритму.

Шаг 1: Найдите q1, q2, q3 так, чтобы центр запястья ос имел координаты, заданные формулой

87

Шаг 2: Используя объединенные переменные, определенные на шаге 1, оцените R9.

Шаг 3: Найдите набор углов Эйлера, соответствующих матрице вращения

$$P_{6}^{3} = (p_{3}^{0}) \quad 1R = (R_{3}^{0})^{T} P.$$
 (4.15)

## 4.3 Инверсное положение: геометрический подход

для общих кинематических устройств, которые мы рассматриваем, мы можем использовать геометрический подход, чтобы найти переменные q1, q2, q3, соответствующие о, заданьёму (4.10). Мы ограничиваем наше рассмотрение геометрическим подходом по двум причинам. Во-первых, как мы уже говорили, большинство современных конструкций манипуляторов кинематически просты и обычно остоят из одной из пяти основных конфигураций из главы 1 со сферическим запястьем. Действительно, отчасти из-за сложности общей задачи обратной кинематики конструкции манипуляторов развились до их нынешнего состояния.

Во-вторых, существует несколько методов, которые могут решить общую задачу обратной кинематики для произвольных конфигураций. Поскольку читатель, скорее всего, столкнется с конфигурациями роботов 88 ГЛАВА 4. ОБРАТНАЯ КИНЕМАТИКА

рассматриваемого здесь типа дополнительные трудности, связанные с рассмотрением общего случая, кажутся неоправданными. Читатель обращается к ссылкам в конце главы для рассмотрения общего случая.

В общем случае сложность обратной задачи кинематики возрастает с увеличением числа ненулевых параметров звена. Для большинства манипуляторов многие из ai di равны нулю, αi равны 0 или ±π/2 и т. д. Особенно в этих случаях наиболее простым и естественным является геометрический подход. Проиллюстрируем это несколькими важными примерами.

### Шарнирная конфигурация

Рассмотрим локтевой манипулятор, показанный на рис. 4.2, с компонентами о на хс, ус, zc. Спроецируем ос  $^0_c$  обозначенный на плоскость х0 у0, к ак показано на рис. 4.3.

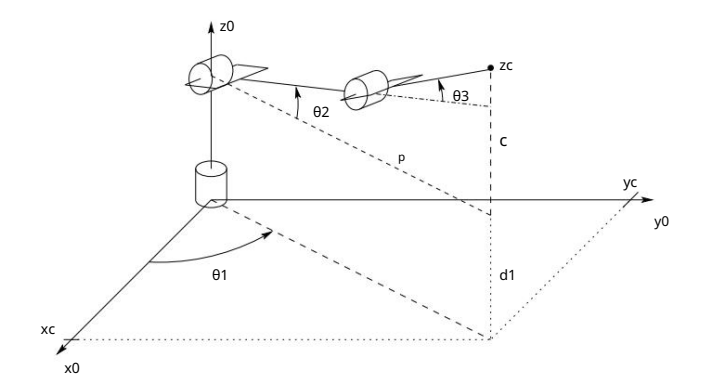


Рисунок 4.2: Локтевой манипулятор.

Мы видим из этой проекции, что

$$\theta 1 = A \tan(xc, yc), \tag{4.16}$$

в которой A tan(x, y) обозначает функцию арктангенса с двумя аргументами. Tan(x, y) определен для Bcex(x, y) = (0, 0) и равен единственному углу  $\theta$ , такому что

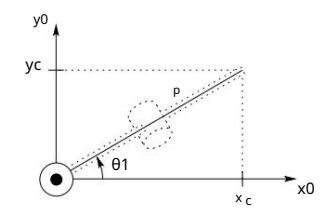
$$_{000049^{4}70^{0}\theta^{-}}^{000} = \frac{_{0000}}{_{00002}^{2} + y \, 2)^{-\frac{1}{2}}}, \qquad \text{rpex } \theta = \frac{y}{_{00002}^{2} + y \, 2)^{-\frac{1}{2}}}. \tag{4.17}$$

Например, загар (1, 1) =  $\pi_{4}$ , в то время как А тангенс ( 1, 1) = + $3\pi$ 

Обратите внимание, что второе допустимое решение для  $\theta 1$ 

$$\theta 1 = \pi + A \tan(xc, yc). \tag{4.18}$$

4.3. ПЕРЕВЕРНУТОЕ ПОЛОЖЕНИЕ: ГЕОМЕТРИЧЕСКИЙ ПОДХОД



89

Рисунок 4.3: Проекция центра запястья на плоскость х0 у0.

Конечно, это, в свою очередь, приведет к различным решениям для  $\theta$ 2 и  $\theta$ 3, как мы увидим ниже. Эти решения для  $\theta$ 1 действительны, если только x0 = y0 = 0 . В этом случае (4.16) не определено, а манипулятор находится в сингулярной конфигурации, показанной на рис. 04. В этом положении

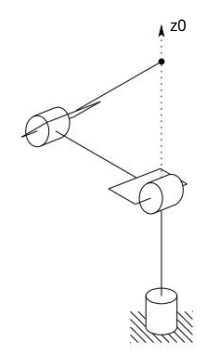


Рисунок 4.4: Сингулярная конфигурация.

центр запястья ос пересекает z0; следовательно, любое значение θ1 оставляет ос фиксированным. Таким образом, существует бесконечно много решений для θ1 , когда ос пересекает z0.

Если есть смещение d = 0, как показано на рисунке 4.5, то центр запястья не может пересекать z0. В этом случае, в зависимости от того, как были назначены параметры DH, мы будем иметь d2 = d или d3 = d. В этом случае, вообще говоря, будет только два решения для θ1. Они соответствуют так называемым конфигурациям левой руки и правой руки, как показано на рисунках 4.6 и 4.7. На рис. 4.6 показана конфигурация левой руки. Из этого рисунка мы видим геометрически, что

$$\theta 1 = \varphi \quad \alpha \tag{4.19}$$

90 ГЛАВА 4. ОБРАТНАЯ КИНЕМАТИКА

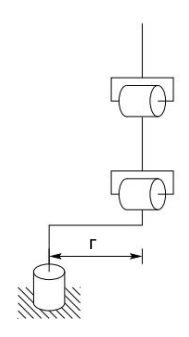


Рисунок 4.5: Локтевой манипулятор со смещенным плечом.

где

$$\varphi = A \tan(xc, yc) d 2,$$
 (4.20)

$$2 \alpha = A \text{ тангенс r} \qquad d \qquad (4.21)$$

Второе решение, даваемое конфигурацией правой руки, показанной на рис. 4.7, определяется выражением

$$\theta$$
1 = A Tahrehc(xc, yc) + A Tahrehc r  $\frac{1}{2}$  d 2, d. (4.22)

Чтобы увидеть это, обратите внимание, что

$$\Theta 1 = \alpha + \beta \alpha = A \tag{4,23}$$

$$tan(xc, yc) \beta = y + \pi$$
 (4,24)

$$y = A \tan(r)$$
  $(4,26)$   $(4,27)$ 

которые вместе означают, что

$$\beta = A \, \text{sarap - p} \qquad \frac{1}{2} \, d2 \, , \quad d \qquad (4.28)$$

поскольку  $cos(\theta + \pi) = cos(\theta)$  и  $sin(\theta + \pi) = sin(\theta)$ .

Чтобы найти углы θ2, θ3 для локтевого манипулятора при заданном θ1, рассмотрим плоскость, образованную вторым и третьим звеньями, как показано на рис. 4.8. Поскольку движение ссылок

4.3. ПЕРЕВЕРНУТОЕ ПОЛОЖЕНИЕ: ГЕОМЕТРИЧЕСКИЙ ПОДХОД

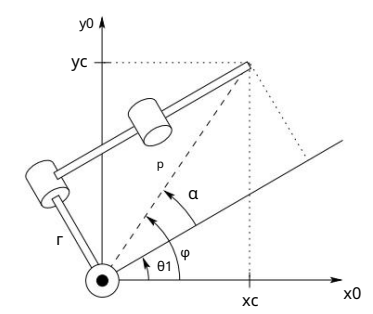


Рисунок 4.6: Конфигурация левой руки.

два и три плоские, решение аналогично решению двухзвенного манипулятора из главы 1. Как и в нашем предыдущем выводе (ср. (1.8) и (1.9)) мы можем применить закон косинусов, чтобы получить

$$\cos \theta 3 = \frac{\frac{2222 + \text{cp} \cdot \text{a} \cdot \text{a} \cdot 23}{2a2a3}}{\frac{2a2a3}{\epsilon} + y \cdot \frac{2 \cdot x}{\epsilon} + y \cdot \frac{2^2 \cdot \text{a} \cdot 2}{\epsilon} \cdot 2 \cdot 3} := A,$$
(4.29)

так как  $p^2_{2} = x_c + y_c^2$  д  $x_s = x_s$  . Следовательно,  $x_s = x_s$  определяется выражением

$$\theta$$
3 = A Tahrehc D,  $\pm$  1 D2. (4.30)

91

Точно так же 02 задается как

$$\theta 2 = A \tan(r, s) \qquad A \tan(a2 + a3c3, a3s3) \tag{4.31}$$
 
$$= a a rap x \qquad \frac{2}{c} + y \ \frac{2}{c} \quad d \ 2, zc \qquad A \tan(a2 + a3c3, a3s3).$$

Два решения для  $\theta$ 3 соответствуют положению с поднятым локтем и положению с опущенным локтем соответственно.

Примером локтевого манипулятора со смещением является PUMA, показанный на рис. 4.9. Как показано, есть четыре решения кинематики инверсного положения. Они соответствуют ситуациям: левая рука — локоть вверх, левая рука — локоть вниз, правая рука — локоть вверх и правая рука — локоть вниз. Мы увидим, что существует два решения для ориентации запястья, что дает в общей сложности восемь решений инверсной кинематики для манипулятора PUMA. 92 ГЛАВА 4. ОБРАТНАЯ КИНЕМАТИКА

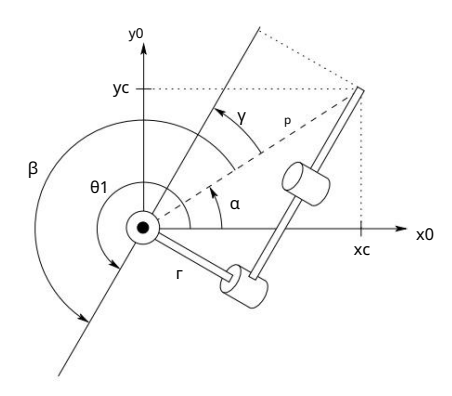


Рисунок 4.7: Конфигурация правой руки

### Сферическая конфигурация

Затем мы решим кинематику инверсного положения для сферического манипулятора с тремя степенями свободы, показанного на рис. 4.10. Как и в случае с локтевым манипулятором, первой переменной сустава является базовое вращение, и решение дается как

$$\theta 1 = A \tan(xc, yc) \tag{4.32}$$

при условии, что хс и ус не равны нулю. Если и хс , и ус равны нулю, конфигурация по-прежнему сингулярна, и  $\theta$ 1 может принимать любое значение.

Угол θ2 взят из рисунка 4.10 как

$$\pi$$
  $\theta$ 2 = A Tahrehc (r, s) + 2  $-$  (4.33)

 $r_{AB} = r + y$   $_{AB} \approx \frac{2}{h} 1200$  верделяется  $r_{AB} \approx 2$  s = 2c d1. Как и в случае с локтевым манипулятором, второе решение выражением

$$\theta 1 = \pi + A \tan(xc, yc); \tag{4.34}$$

Линейное расстояние d3 находится как

$$d3 = r \frac{2 + c^{2}}{2 + c^{2}} = xc + y \frac{2}{c} + (zc d1) 2.$$
 (4.35)

Решение с отрицательным квадратным корнем для d3 не учитывается, и, таким образом, в этом случае мы получаем два решения обратной кинематики положения, пока центр запястья не пересекает z0. Если есть смещение, то будут конфигурации левой и правой руки, как в случае с локтевым манипулятором (задача 4-12).

4.4. ИНВЕРСНАЯ ОРИЕНТАЦИЯ 93

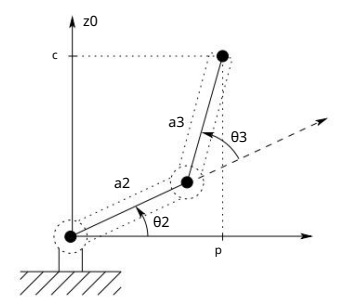


Рисунок 4.8: Проецирование на плоскость, образованную звеньями 2 и 3.

## 4.4 Обратная ориентация

В предыдущем разделе мы использовали геометрический подход для решения обратной позиционной задачи. Это дает значения первых трех суставных переменных, соответствующих заданному положению начала запястья. Обратная задача ориентации теперь заключается в нахождении значений последних трех совместных переменных, соответствующих заданной ориентации относительно системы отсчета о3х3у3с3. Для сферического запястья это можно интерпретировать как задачу нахождения набора углов Эйлера, соответствующих заданной матрице поворота R. Напомним, что уравнение (3.32) показывает, что матрица поворота, полученная для сферического запястья, имеет тот же вид, что и матрица поворота матрица преобразования Эйлера, заданная в (2.52). Следовательно, мы можем использовать метод, разработанный в разделе 2.5.1, для определения трех углов сустава сферического запястья. В частности, мы находим три угла Эйлера, ф, ф, используя уравнения (2.54) – (2.59), а затем используем отображение

$$\theta 4 = \varphi$$
,  
 $\theta 5 = \theta$ ,  $\theta 6$   
 $\theta = \psi$ .

Пример 4.2 Шарнирный манипулятор со сферическим запястьем Параметры DH для назначения рамы, показанные на рисунке 4.2, сведены в таблицу 4.1. Умножение соответствующих матриц Ai дает матрицу R0 для шарнирного или коленчатого манипулятора как

94 ГЛАВА 4. ОБРАТНАЯ КИНЕМАТИКА

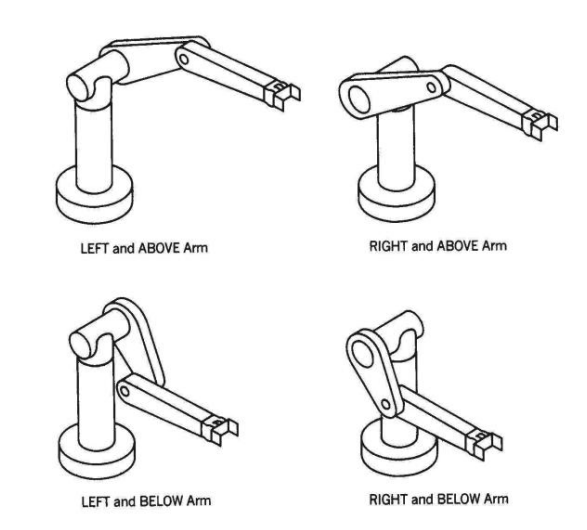


Рисунок 4.9: Четыре решения обратной кинематики положения для манипулятора PUMA.

Таблица 4.1: Параметры звена шарнирного манипулятора на рис. 4.2.

Связь	ai αi	di 6	ì	0	90	d1	
1	θ	1					
2	a2 (	0 6	9		2		
3	a3 (	0 6	)			3	3
* переменная							

4.4. ИНВЕРСНАЯ ОРИЕНТАЦИЯ

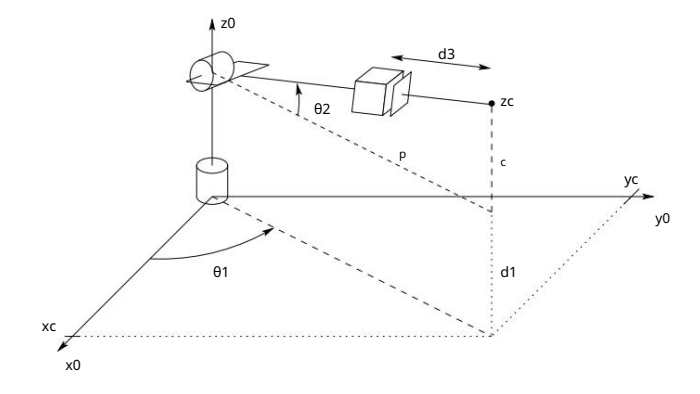


Рисунок 4.10: Сферический манипулятор.

Матрица R3 <sub>6</sub> = A4A5A6 задается как

Таким образом, уравнение, которое необходимо решить для последних трех переменных, имеет вид

$$P_{6}^{3} = (p_{3}^{0})^{T} P$$
 (4.38)

95

и решение угла Эйлера может быть применено к этому уравнению. Например, три уравнения задается третьим столбцом в приведенном выше матричном уравнении, задается выражением

$$c4s5 = c1c23r13 + s1c23r23 + s23r33$$
 (4.39)

Следовательно, если не оба выражения (4.39), (4.40) равны нулю, то из (2.54) получаем  $\theta$ 5 и (2.55) как

$$\theta$$
5 = A Tahrehc s1r13 c1r23,  $\pm$  1 (s1r13 c1r23)  $^{2}$  (4.42)

Если в (4.42) выбран положительный квадратный корень, то θ4 и θ6 определяются (2.56) и (2.57), соответственно. как

$$\theta$$
4 = A  $\alpha$ 23r23 + s23r33,

$$\theta 6 = A \tan(s1r11 + c1r21, s1r12 c1r22).$$
 (4.44)

ГЛАВА 4. ОБРАТНАЯ КИНЕМАТИКА

Аналогично получаются остальные решения. Если s5 = 0, то общие оси z3 и z5 равны коллинеарный. Это сингулярная конфигурация, и можно определить только сумму  $\theta$ 4 +  $\theta$ 6. Один решение состоит в том, чтобы выбрать  $\theta$ 4 произвольно, а затем определить  $\theta$ 6, используя (2.62) или (2.64).

## Пример 4.3. Резюме решения локтевого манипулятора

Подводя итог предыдущему развитию, запишем одно решение обратной кинематика коленчатого манипулятора с шестью степенями свободы, показанного на рис. 4.2, имеет отсутствие суставных смещений и сферическое запястье.

Данныі

$$O = \begin{cases} 6MK & p11 p12 p13 \\ oy & p21 p22 p23 \\ p31 p32 p33 \end{cases}$$
 (4,45)

затем с

96

$$xc = 6ы\kappa - d6r13$$
 (4.46)

$$yc = oy d6r23 zc (4.47)$$

набор совместных переменных DH определяется выражением

$$\theta 1 = A \tan(xc, yc) \tag{4.49}$$

$$\theta$$
2 = A Tahrehc x  $\frac{2}{c} + y \frac{2}{c}$  d 2, zc A tan(a2 + a3c3, a3s3) (4,50)

где Д = 
$$\frac{{}^{100}\text{C}_{c}^{2} + y_{c}^{2}}{2a2a3} = \frac{A^{2} + \Gamma_{c}^{2}}{2a2a3} = \frac{A^{2}}{2a2a3}$$
(4.51)

 $\theta 4 = A arap(c1c23r13 + s1c23r23 + s23r33)$ 

$$\theta$$
5 = A tan s1r13 c1r23,  $\pm$  1 (s1r1 $\overline{3}$  c1r23)  $\overline{2}$  . (4.53)

$$\theta 6 = A \tan(s1r11 + c1r21, s1r12 c1r22).$$
 (4,54)

Другие возможные решения оставляем в качестве упражнения (задача 4-11).

### Пример 4.4 Манипулятор SCARA

В качестве другого примера рассмотрим манипулятор SCARA с прямой кинематикой. определяется  $\mathsf{T}_4^0$  из (3.49). Тогда обратная кинематика задается как множество решений уравнения уравнение

## 4.4. ИНВЕРСНАЯ ОРИЕНТАЦИЯ

97

98

Прежде всего отметим, что, поскольку SCARA имеет только четыре степени свободы, не каждое возможное Н из SE(3) допускает решение (4.55). На самом деле мы легко можем видеть, что решение

(4.55) не существует, если R не имеет вида

$$P = \begin{cases} c\alpha & c\alpha & 0 \\ s\alpha & c\alpha & 0 & 0 \\ 0 & \end{cases}$$
 (4,56)

и если это так, то сумма  $\theta 1 + \theta 2$   $\theta 4$  определяется выражением

$$\theta 1 + \theta 2$$
  $\theta 4 = \alpha = A \tan(r11, r12)$ . (4,57)

Проецирование конфигурации манипулятора на плоскость x0 у0 сразу дает ситуацию, показанную на рис. 4.11.

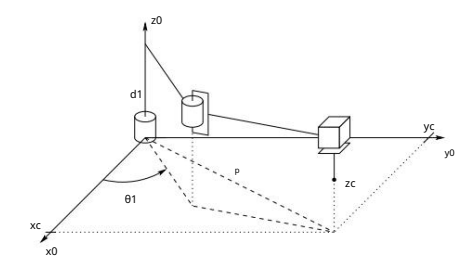


Рисунок 4.11: Манипулятор SCARA.

Отсюда мы видим, что

$$\theta 2 = A \text{ тангенс } c2, \pm \frac{1}{1} \frac{c2}{c2}$$
 (4,58)

где

$$c2 = \frac{22 + 00 \cdot a_{1} 2^{2} 2^{2} - a^{-}}{2a_{1} \frac{a_{2}}{2}}$$
 (4,59)

$$\theta$$
1 = A tan(ox, oy) A tan(a1 + a2c2, a2s2). (4,60)

Тогда мы можем определить 04 из (4.57) как

$$\theta 4 = \theta 1 + \theta 2 - \alpha \tag{4.61}$$

 $= \theta 1 + \theta 2$  A tan(r11, r12).

Наконец, d3 задается как

$$d3 =$$
унция +  $d4$ . (4,62)

ГЛАВА 4. ОБРАТНАЯ КИНЕМАТИКА